

## 졸겔법으로 제조된 SBN박막의 특성연구

### Characteristics of SBN Thin Films Prepared by Sol-Gel Process

이동근, 김태중, 이해욱\*, 이희영, 김정주\*\*, 조상희\*\*

Dong Gun Lee, Joong Tae Kim Hae Wook Lee\*, Hee Young Lee, Jeong-Joo Kim\*\*, and Sang-Hee Cho\*\*

Department of Materials Science and Engineering, Yeungnam University, Kyongsan, Korea

\*School of Advanced Materials Engineering, Kaya University, Koryong, Korea

\*\*Department of Inorganic Materials Engineering, Kyungpook National University, Daegu, Korea

#### Abstract

Strontium barium niobate, ( $\text{Sr}_{0.5}\text{Ba}_{0.5}\text{Nb}_2\text{O}_6$ ), thin films of various composition were prepared by the sol-gel method. Solution derived from acetate powders and niobium ethoxide in a mixture of acetic acid, ethylene glycol and 2-methoxyethanol was spin-coated onto bare silicon, Pt-coated silicon and fused silica substrates. Processing parameters were optimized to develop stable solutions which yielded films with relatively low crystallization temperatures. It was determined that ethylene glycol was a necessary component of the solution to increase stability against precipitation and to decrease the crystallization temperature of the films as confirmed by XRD and FT-IR analyses.

**Key Words :** SBN, Thin film, Sol-Gel, Spin coating

#### 1. 서론

강유전체물질인  $\text{Sr}_x\text{Ba}_{1-x}\text{Nb}_2\text{O}_6$  ( $0.25 \leq x \leq 0.75$ ) (이하 SBN)은 tetragonal 형 tungsten bronze(이하 TTB) 형 구조를 가지고 있으며 아울러 다양한 소자로 사용이 가능하다. 이러한 강유전체 박막은 압전성을 이용한 micro-sensor, micro-actuator 등의 MEMS 소자, 초전특성을 이용한 적외선 센서, 광학특성을 이용한 광스위치, 공간광변조기 등 그 응용분야에 있어 전자산업에 미치는 파급효과가 대단히 크다.<sup>(주1),(주2)</sup>

SBN 단결정의 특성이 품질 면에서는 우수하지만, 값이 비싸고 제조상의 어려움 때문에 응용에는 한계가 있다. 그러나 다결정체 SBN 세라믹스는 값이 싸고 제조하기 쉬우며 다양한 크기 및 형태로 쉽게 제조할 수 있기 때문에 입체 및 기공의 존재로 말미암아 비록 물성에 불리한 측면이 있다 하더라도 실제 응용의 가능성은 크다고 생각된다.

SBN 세라믹스는 약 1400°C에서 고용체반응이 일어나며 일반적인 열처리법과 볼밀작업이 필요하다. Nagata et.al.에 의하면 hot press를 이용하여 광학적 성질이 우수한 SBN 세라믹스의 제조가 가능하며 단결정의 SBN 제조는 Czochralski method을 이용한다고 알려져 있다.<sup>(주3),(주4)</sup>

최근, 집적소자의 발전에 따라 박막의 제조방법에 대한 연구가 많이 수행되고 있다. C-측 배향된

\* 영남대학교 재료금속공학부  
(경북 경산시 대동 영남대학교,  
Fax: 053-811-0970  
E-mail : m0046052@chunma.yu.ac.kr)

tungsten bronze형 SBN thin film은 pyroelectric, photorefractive 그리고 electro-optic application에 이용이 가능하다<sup>(주3),(주4)</sup>. Neur gaonkar 등에 의하면<sup>(주3)</sup> epitaxial SBN thin film 박막의 제조를 액상 상태의 epitaxy인 vanadium containing oxide flux와 grain-oriented 된 SBN 박막을 silicon 기판에 RF스퍼터링으로 구현하였다. 최근 SBN 박막은 여러 가지의 sol-gel 방법을 이용하여 준비되어지고 있다. 그리고 pulsed laser deposition 법과 MOCVD법이 있다.<sup>(주4)</sup> 최근 광집적 회로에 관한 연구에서 강유전 단결정 박막들이 능동적이고 낮은 광손실 값을 요구하고 있으며, 광집적 소자인 광스위치, 광변조기, 광주파수 변환기 등에서 이들 강유전체는 많은 부분에서 응용가능성을 보여주고 있다.

TTB는 산소팔면체를 기본단위로 해서 이것이 다양한 형태로 결합한다. 그림 1에서 보면 두 개의 A1, 네 개의 A2, 네 개의 C, 두 개의 B1, 여덟 개의 B2 site 그리고 30개의 산소로 이루어져 있으며 그식은  $(A1)_2(A2)_4(C)_4(B1)_2(B2)_8O_{30}$ 으로 나타낼 수 있다. A1, A2, C, B1, B2 site는 서로 다른 양이온으로 부분적으로 또는 완전히 채워질 수 있다. Niobate나 tantalate의 경우 B1과 B2 site는 Nb<sup>5+</sup>나 Ta<sup>5+</sup>을 채워지고, A1, A2, C site들은 알칼리토금속이나 알칼리 금속이온으로 채워진다. 또한, A1, A2, C site가 양이온으로 채워지는 양에 따라 Ba<sub>5x</sub>Sr<sub>5(1-x)</sub>Nb<sub>10</sub>O<sub>30</sub>(SBN)이나 Pb<sub>x</sub>Ba<sub>(1-x)</sub>Nb<sub>2</sub>O<sub>6</sub>(PBN)와 같이 6개의 A site 중 5개만 채워져 있는 것과 Ba<sub>4</sub>Na<sub>2</sub>Nb<sub>10</sub>O<sub>30</sub>과 같이 모든 A1 site와 A2 site는 채워져 있지만 C site는 채워져 있지 않은 것, 마지막으로 K<sub>0.5</sub>Li<sub>1.4</sub>Nb<sub>10</sub>O<sub>30</sub>과 같이 A1, A2, C site가 모두 채워져 있는 것으로 구분할 수 있다.<sup>(주5),(주6)</sup>

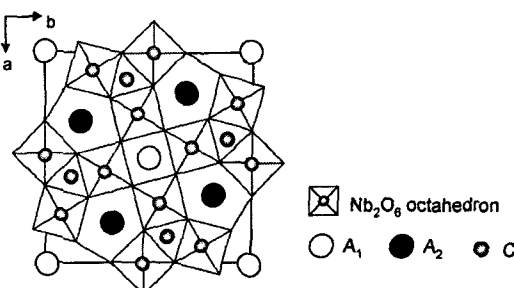


그림 1.TTB 결정구조

Fig 1. Atomic arrangement in a unit cell of a tungsten-bronze type structure projected along the c-axis.(by P. B. Jamieson et al)

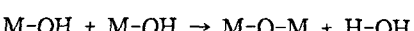
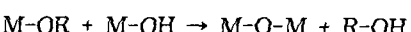
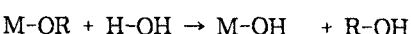
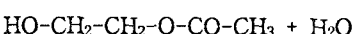
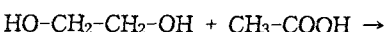
전형적인 sol-gel 법은 용매로서 2-methoxyeth

anol을 사용하며 금속알록사이드의 반응성을 줄이기 위해 치화제(chelation agent)를 사용하기도 하며 MOD법의 경우 분자량이 큰 화합물을 사용하여 화학반응이 일어나지 않게 한다. CSD(Chemical solution decomposition)법은 전구체용액을 기판 위에 doping이나 spinning을 통해 코팅하므로 장치가 간단하며 저온합성 및 조성조절이 용이한 장점을 가지고 있다. 한편, 단점으로는 비교적 값이 비싼 금속유기물을 사용하며, 원하는 두께의 박막을 얻기 위해 여러 차례 코팅 및 baking을 반복해야 한다. 출젤법의 경우 MOD법에서 분자량이 큰 화합물을 사용하여 열처리시 발생하는 균열문제가 조금 적은 편이며<sup>(주7),(주8),(주9)</sup> 또한 화학반응이 일어나지 않는 MOD법과 달리 molecule 사이에 chain이 형성되어 낮은 온도에서도 결정화를 이룰 수 있다는 장점이 있다.

## 2. 실험방법 및 측정

### 2.1 코팅용 SBN 용액의 합성 및 박막의 제조

그림 2에 SBN sol-gel 용액의 제조를 위한 공정흐름도를 나타내었다. strontium과 barium의 출발물질로 각각 strontium acetate(Sr(C<sub>2</sub>H<sub>3</sub>OO)<sub>2</sub>)와 barium acetate(Ba(C<sub>2</sub>H<sub>3</sub>OO)<sub>2</sub>)를 사용하였고, niobium의 출발물질로 Niobium ethoxide(Nb(OC<sub>2</sub>H<sub>5</sub>)<sub>5</sub>)를 사용하였다. 용매로는 acetic acid(이하 AcOH)와 2-methoxyethanol(이하 2me)을 사용하였고 AcOH와 ethylene glycol(이하 EG)의 에스테르화반응과 sol-gel의 가수분해 반응 및 축중합 반응은 아래와 같이 일어난다



이렇게 만든 SBN sol-gel 용액은 코팅에 적합한 성질을 지녔으며 최종 농도는 0.2M로 조정하였다.

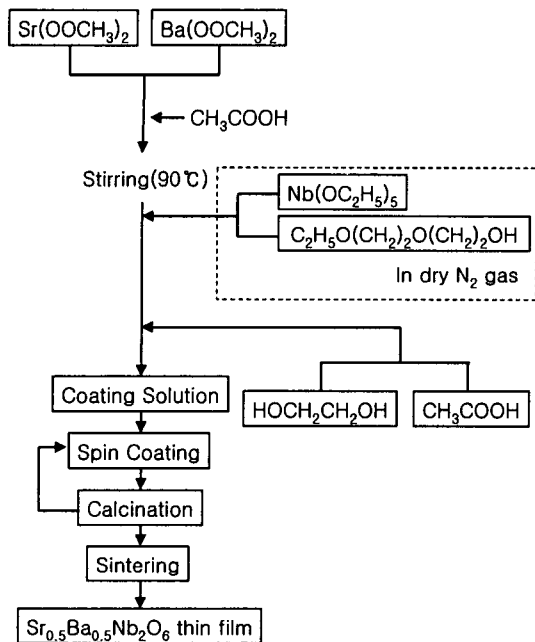


그림2. SBN sol-gel 용액을 제조하기 위한 실험 절차

Fig.2. Experimental procedure for preparation of SBN sol-gel solutions

<sup>(주10)</sup>Ethylene glycol을 첨가하는 과정은 AcOH : EG ratios 각각 20:5, 20:10, 20:0로 첨가하여 제조된 SBN(x=0.5) 박막용 전구체용액을 도포하기 위해 본 연구에서는 spin-coating 법을 사용하였다. 이 방법은 spinner(SCS Corp. Model, USA)를 사용하므로 장치가 간단하고, 진공 공정이 없으며 작업이 간단하다. 이 방법의 단점으로는 step coverage가 나쁘고, 고속회전에 의하여 막을 도포하므로, 중심과 가장자리의 막질이 다른 점(edge effect)등을 들 수 있다. 코팅전 세척공정을 거친 뒤 기름, 먼지, 물기 등이 제거된 깨끗한 기판인 Si 기판 위에 spin coater를 이용해 0~3000rpm 까지 10초, 3000rpm에서 30초간 다층코팅을 하여 약 5000Å 정도의 두께를 갖는 SBN 박막을 제조하였다.

## 2.2 박막의 미세구조 분석

여러 온도에 따른 SBN50박막을 제조한 후 각 온도에 따른 시편의 미세구조를 비교하여 보았으며 결정화 온도가 시작되는 부분과 비결정화온도 부분의 미세구조를 비교하여 보았다.

박막은 주사전자현미경(SEM)을 이용하여 계면구조 및 박막의 두께를 관찰하였다.

## 2.3 박막의 결정화 및 결정성장 분석

다층코팅을 위한 중간열처리 온도는 SBN50의 졸을 TG/DTA (Setaram TGDTA92)분석을 토대로 결정하였으며, Si(100) 기판 위에 다층코팅된 SBN50 박막을 이용하여 FT-IR 분석(Bio-Rad Laboratories, FTS 3000MX) 결과와 XRD(Rigaku RINT2000)를 사용하여 단일상 SBN50을 관찰하여 서로간의 상호관계 와 결정화 및 결정성장에 필요한 적당한 온도와 시간을 결정하였다.

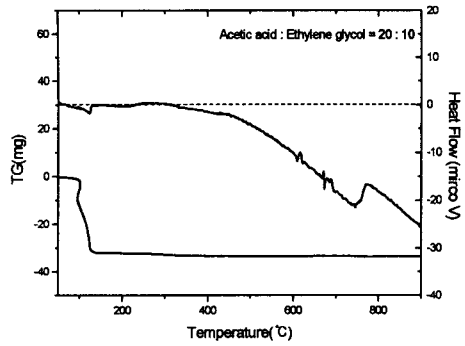
## 3. 결과 및 고찰

### 3.1 졸 및 박막의 특성

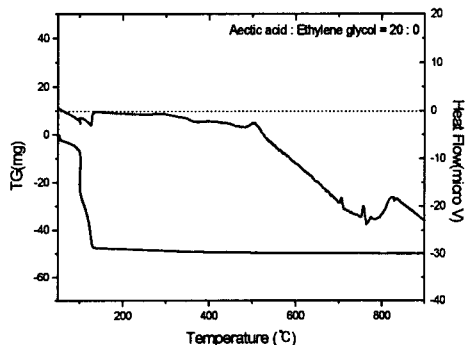
본 실험에서는 SBN(x=0.5)의 가수분해에 대한 안정성을 높이기 위해서 치화제(chelating agent)로 EG를 사용하여 졸을 제조하였다. 치화제는 첨가되는 절대량에 의해 졸의 점도, oligomer의 구조, 박막의 열처리시 유기물의 탈리 및 결정화거동에 영향을 미친다. AcOH 20몰에 대해 EG의 몰비를 10, 5, 0 몰로 변화시키면서 합성한 졸의 안정성을 가수분해 단계에서 침전의 유무를 확인하여 나타내었다. EG를 사용한 모든 조성에서 안정된 polymeric SBN50 졸을 합성할 수 있었다. AcOH : EG 비가 각각 20:5, 20:10, 20:0 인 각각의 용액을 Si(100) 기판 위에 수회 코팅을 한다음 원하는 두께의 박막을 얻은 뒤 700, 800, 900°C에서 열처리를 하였다.

### 3.2 박막의 열적 거동

박막의 열적거동을 직접 분석하는 것은 매우 어렵기 때문에 졸을 이용하여 간접적으로 유추하는 방법을 이용하였다 그림3은 본 실험에서 합성한 졸의 시차열분석과 열중량분석 결과를 나타내었다. 100°C 부근에서의 급격한 중량감소는 졸에서 젤로 바뀌는 것을 나타내며 젤분말 상태에서 900°C까지의 큰 중량 감소는 나타나지 않았다. AcOH : EG의 비가 20:10 인 졸의 경우 600°C 부근에서 발열피크를 찾아볼 수 있으며 AcOH : EG의 비가 20:0 인 졸의 경우 700°C 부근에서 발열피크를 찾아볼 수 있었다.



(a) Acetic acid : Ethylene glycol = 20:10



(b) Acetic acid : Ethylene glycol = 20:0

그림 3. Acetic acid : Ethylene glycol 의 비에 따른 TG/DTA 곡선

Fig. 3. The TG/DTA Curves of SBN50 gel using (a) Acetic acid : Ethylene glycol = 20:10 and (b) Acetic acid : Ethylene glycol = 20:0

### 3.3 박막의 FT-IR 분석과 X선회절분석

그림 4는 AcOH : EG의 비가 각각 20:5, 20:10, 20:0인 콜을 Si(100) 기판에 수화 코팅을 한 후 350°C, 700°C, 800°C, 900°C에서 열처리후의 FT-IR 스펙트럼이다.

건조후 박막구조내에 유기물이 존재하는 것을 확인할 수 있으며 열처리 온도가 증가할수록 유기물에 관련된 피크가 약해지며, 700°C에서는 유기물이 완전히 제거된 것으로 판단된다.

Ethylene glycol을 사용하여 제조한 콜을 이용하여 박막을 만들어 700°C 이상에서는 M-O-M 결합에 해당하는 450-500 cm<sup>-1</sup>부근의 흡수피크를 확인할 수

있었으며 1220-1190 및 1090-1020 cm<sup>-1</sup> 부근의 M-O-M 신축진동 역시 관찰할 수 있었다.

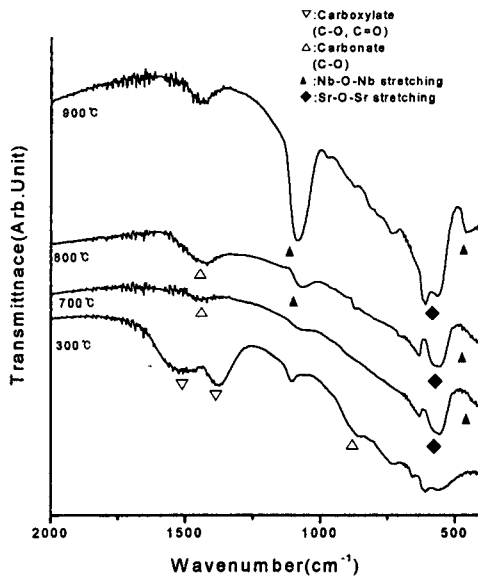


그림 4. 열처리 온도에 따른 SBN50 박막의 FT-IR spectra

Fig.4. Heat-treatment temperature dependence of FT-IR spectra for SBN50(Acetic acid : Ethylene glycol = 20:10) thin films

그림 5는 700°C, 800°C, 900°C에서 열처리한 박막의 FT-IR분석후 결정화 및 결정성장을 비교하기 위한 XRD 결과이다. AcOH : EG가 20:10인 경우 결정화 상태가 좋은 것으로 나타나고 있으며 아울러 박막의 미세구조 분석시에도 결정화 상태와 밀접한 관계를 가지고 있는 것으로 보인다. EG를 포함하고 있는 AcOH에 acetate를 녹였을 때 침전이 일어나지 않는 결과를 얻을 수 있었다. 하지만 EG를 포함하지 않은 AcOH에 acetate를 녹였을 때 결정화도가 상당히 다르다는 것을 알 수 있었다.

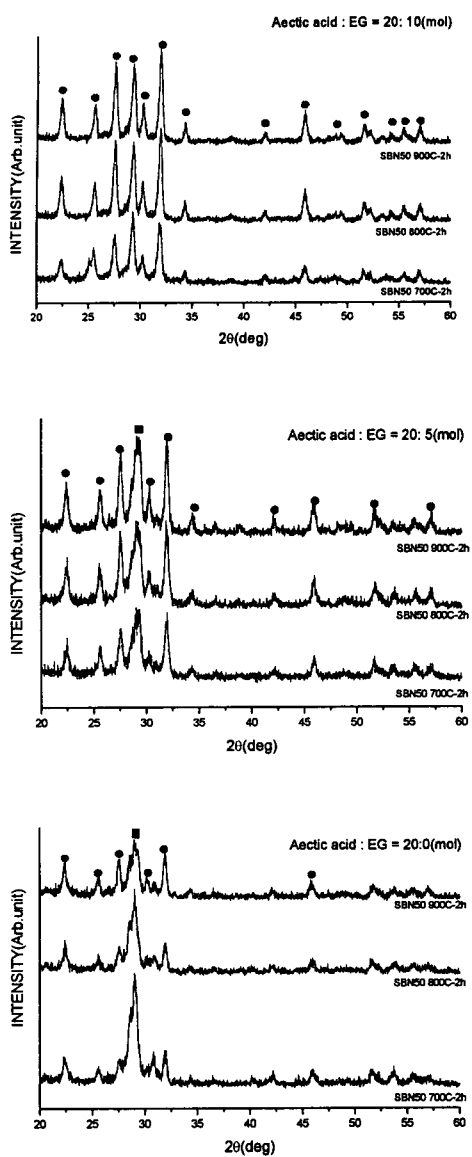


그림 5. SBN 박막의 열처리 온도 및 Acetic acid : Ethylene glycol 의 비에 따른 결정화 거동

Fig .5. XRD patterns of SBN( $x=0.5$ ) films heated to various temperatures , made from solution with ac acetic acid : ethylene glycol ratio of (a) 20:10 ,(b) 20:5 and 20:0.

### 3.3 SBN50 박막의 미세구조

그림 6은 Si(100) 기판에 AcOH : EG = 20:10 인 졸을 코팅한 SBN50( $x=0.5$ ) 박막을 900°C에서 2시간

열처리 한 시편의 단면 SEM 사진이다.

수회 코팅을 통하여 두께 0.6μm 의 균질한 박막을 얻을 수 있었음을 볼 수 있다.

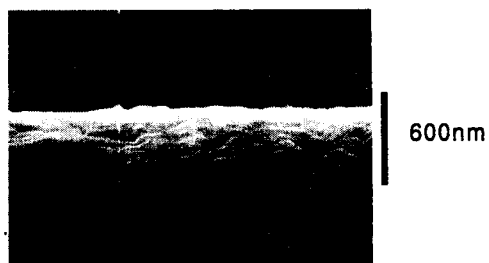


Fig 6. SEM micrographs of SBN50 thin films heat treatment at 900°C on Si(100) wafer

그림 6. Si(100) 기판을 사용하고 900°C에서 열처리 한 SBN박막 단면의 SEM 사진

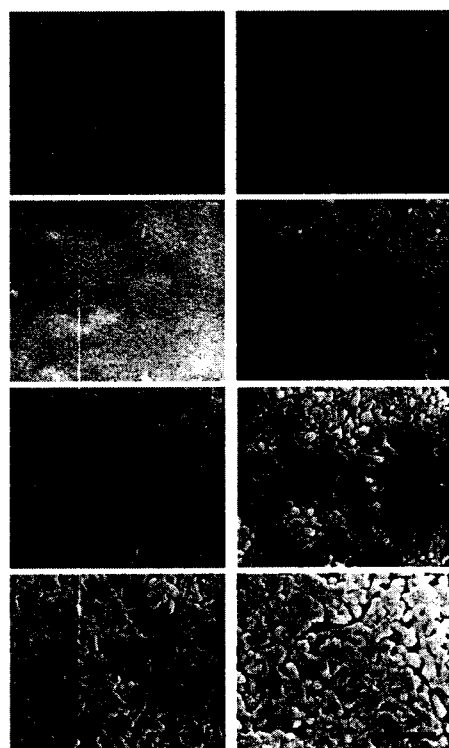


그림 7. Si(100) 기판을 사용하고 650-900°C에서 열처리한 SBN50 박막의 표면의 SEM사진

Fig 7. SEM micrographs of SBN50 thin films heat treated at 650-900°C on Si(100) wafer

(a)-(d) AcOH:EG=20:10 650, 700, 800, 900°C  
(e)-(h) AcOH:EG=20:0 650, 700, 800, 900°C

그림 7은 Si(100) 기판에 코팅한 SBN50( $x=0.5$ ) 박막을 650~900°C에서 열처리한 시편의 표면 SEM 사진이다. 그림에서 800°C에서 본격적인 성장이 이루어 절정립이 치밀하고 미세하게 성장되었으나 900°C에서는 800°C의 경우보다 절정립이 커지는 절정립 성장이 일어남을 볼 수 있다.

#### 4. 결론

졸겔법으로 SBN50 박막을 제조하여 어닐링 온도와 AcOH : EG의 비에 따른 졸과 박막의 특성 등을 조사하였는데, 그 결과는 다음과 같이 요약된다.

1. Sol-Gel법으로 제조된 단일상의 SBN50( $x=0.5$ ) 박막을 제조할 수 있었는데, AcOH : EG의 비에 따라 결정화 상태가 서로 다르게 나타났고, 단일상이 얻어지는 어닐링 온도도 서로 달랐다.
2. 박막의 경우 FT-IR 분석을 통해 금속알콕사이드가 EG의 영향에 의한 M-O-M의 결합을 700°C에서 일어나고 있다는 것을 확인할 수 있었으며, 아울러 900°C에서 많은 M-O-M의 결합이 나타나고 있다는 것을 알 수 있었다.
3. XRD 분석을 통해서 동일한 열처리 시간 및 열처리 온도에 대해 AcOH : EG의 비에 따라서 pyrochlore상을 관찰할 수 있으며 AcOH : EG의 비가 증가함에 따라 단일상 SBN을 얻을 수 있었다.
4. 박막표면의 SEM 관찰 결과 650°C, 700°C, 800°C, 900°C에서 2시간 열처리한 경우 800°C 이상에서 부분적인 결정립성장을 확인할 수 있었다.
5. AcOH에 대한 EG의 비가 20:5 그리고 20:0에 대한 시차열분석과 열중량분석을 살펴본 결과 EG의 첨가에 따라서 발열반응과 흡열반응파크의 변화가 생기는 것을 관찰할 수 있었다.

#### 참고 문헌

1. C.H.Luk, C.L.. Mak, K.H. Wong, "Characterization of strontium bariumniobate films prepared by sol-gel process using 2-methoxyethanol", Thin Solid Films, 298, 57-61 (1997).
2. Keishi Nishio, Nobuhiro Seki, Jirawat Thongrueng, Yuichi Watanabe And Toshio Tsuchiya, "Preparation and Properties of Highly Oriented Sr<sub>0.3</sub>Ba<sub>0.7</sub>Nb<sub>2</sub>O<sub>6</sub> Thin Films by a Sol-Gel

- Process" Journal of Sol-Gel Science and Technology, 16, 37-45 (1999).
3. Wataru Sakamoto, Toshinobu Yogo, Ko-ji Ogiso, Akihiro Kawase, and Shin-ichi Hirano, "Synthesis of Strontium Barium Niobate Thin Films thought Metal Alkoxide", J. Am.Ceram.Soc., 79(9) 2283-88 (1996).
4. X L Guo, Z G Liu, X Y Chen, S N Zhu, S B Xiong, W S Hu and C Y Lin, "Plused laser deposition of Sr<sub>x</sub>Ba<sub>1-x</sub>Nb<sub>2</sub>O<sub>6</sub>/MgO bilayered films on Si wafer in waveguide form", J. Phys. D:Appl. Phys., 29, 1632-1635 (1996).
5. P.B. Jamieson, S.C. Abrahams, and J.L. Bernstein, "Ferroelectric tungsten bronze-type crystal structures. I. Barium strontium niobate Ba<sub>0.7</sub>Sr<sub>0.75</sub>Nb<sub>2</sub>O<sub>5.78</sub>", J.Chem. Phys. 48(1), 5048-5057 (1968).
6. M.P. Trubelja, E. Ryba, and D.K. Smith, A study of positional disorder in strontium barium niobate, J. mater. Sci. 31, 1435-1443 (1996).
7. B.A. Tuttle and R. W Schwartz "solution Deposition of Ferroelectric Thin Films" MRS Bulletin, June 1996, 49-54.
8. J. V. Mantess et al., "Metalorganic Deposition (MOD) : A Nonvacuum, Spin-on, Liquid-Based, Thin Film Method" MRS Bulletin, October 1989, 48-53.
9. C. J. Brinker and G. W. Scherer, sol-gel Science, The Physics and Chemostry of sol-gel Science, Academic Press, New York, 1990 p.xi.
10. M. Tahan, Ahmad Safari, and Lisa C. Klein, "Preparation and Characterization of Ba<sub>x</sub>Sr<sub>1-x</sub>TiO<sub>3</sub> Thin films by a Sol-Gel Technique" J. Am. Ceram. Soc., 79[6], 1593-98 (1996).